

VLNŮ NA DRÁTE S DIELEKTRICKÝM OBALEM

JAROMÍR BUDEJICKÝ, ONDŘEJ OV

(Došlo dne 1.1.1953)

1. Úvod

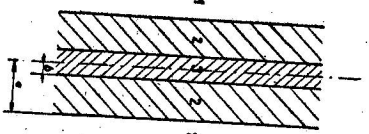
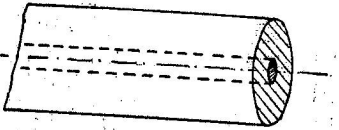
Základní práce o vlnách, postupujících podél jedného drátu, byly sice vykonány již koncem minulého [1] a začátkem tohoto století [2], [3], [4], [5], nebyly však až do nedávna prakticky aplikovány. Teprve v poslední době poukázali různí pracovníci, především G o u b a u [6], na možnosti technického využití různých modifikací těchto „vlnovodů s povrchovými vlnami“.

Tento zajímavý druh vlnovodu se vyznačuje tím, že energie postupuje také vně vlnovodu (nejed uvnitř, jak je to u vlnovodů trubcových); pole vlnovodu s povrchovými vlnami se rozprostírá do nekonečna. Intenzity pole ovšem ubývá se vzdálenosti od osy vlnovodu. Zákon přičného útluhu je dán jednak úpravou vlnovodu, jednak frekvencí přenosu energie; čím vyšší frekvence, tím rychleji klesá intenzita pole a tím menší je průměr válce koaxiálně opsaného vlnovodu, v němž postupuje na př. 90 % veškeré přenesené energie.

Povrchový vlnovod může mít velmi rozmanitou strukturu: může to být kovový drát s konečnou vodivostí [1], dielektrická tyč a nebo trubice [4], [5], [7], [8], [9], [10], vodivý drát s periodickou strukturou povrchu [6], [11], na př. závitem anebo zvlhnutím, též drátěná šroubovice [12] atd. Význačné místo zaujímá úprava, kde vodivý drát je obalen vrstvou dielektrika, někdy velice tenkou (na př. měděný drát natřený vhodným lakem), jejímž hlavním úkolem je soustředit elektromagnetickou energii co nejvíce kolem vlnovodu [6]. Tento neobyčejně jednoduchý a levný vlnovod má útlum srovnatelný s útlumem trubcového vlnovodu a může dokonce přenášet podstatně širší pásmo frekvencí. Při frekvencích řádu 10 GHz je poloměr válce, jímž postupuje na př. 90 % veškeré energie podél vlnovodu, řádově 10 cm. Zdá se, že by bylo možno takového vlnovodu upravit něho na prostých dřevěných sloupcích použit pro širokopásmovou telekomunikaci.

2. Vodivý drát s tlustým dielektrickým obalem

Tento případ je velmi zajímavý s experimentálního hlediska; umožňuje totiž experimentální ověření vzniku t. zv. vyšších vlnových typů i při poměrně nízkých frekvencích budícího vlnění. Může tedy sloužit jako „model“ pro ověření theoretických závěrů.



Obr. 1

Theoreticky se jim zabýval Harms [2], který odvodil vztahy pro t. zv. základní vlnový typ. Jeho teorii ověřil Weiss [3]. Theorii vyšších vlnových typů pro vlny transverzálně magnetické vypracoval Záviska [13], experimentálně ji ověřil Šimón [14]. Úkolem této práce bylo přezkoušet a rozšířit experimentální ověření Záviskovy práce. Obecný tvar drátového vlnovodu s dielektrickým obalem je znázorněn na obr. 1. Vlevo je nakreslen úsek vlnovodu (obr. 1a), vpravo jeho podélný řez (obr. 1b). Vlnovod je tvořen trojím prostředím:

- 1 — vzduch ($\epsilon_1, \mu_1, \sigma_1$),
 - 2 — dielektrikum ($\epsilon_2, \mu_2, \sigma_2$),
 - 3 — vodič ($\epsilon_3, \mu_3, \sigma_3$),
- (ϵ_i — dielektrická konstanta,
 μ_i — permeabilita,
 σ_i — vodivost).

Jelikož jde o válcový útvar, provádí se analýza v cylindrických souřadnicích z, r, φ , při čemž souřadnice z splývá s osou drátu.

3. Vlnové typy TM

Transverzálně magnetickou (TM) rozumíme vlnu, jejíž magnetické pole má jen složky kolmé ke směru šíření vlny, t. j. $H_z = 0$.

Harms odvodil vztahy pro t. zv. hlavní vlnu, která je typu TM; označíme ji TM_{01} . Index 0 značí, že jde o nejjednodušší případ souměrnosti pole kolem drátu, kdy pole nezávisí na souřadnici φ . Přitom je složka E_z pole pro r konečné, $r \neq b$, je-li b poloměr drátu, všude nenulovou funkcí poloměru r .

Záviska ukázal, že vedle hlavní vlny se mohou na drátě s dielektrickým obalem šířit také TM vlny vyšších typů. Nazval je vedlejšími vlnami řádu I, II atd. Jejich pole je opět úplně symetrické kolem vlnovodu, t. j.

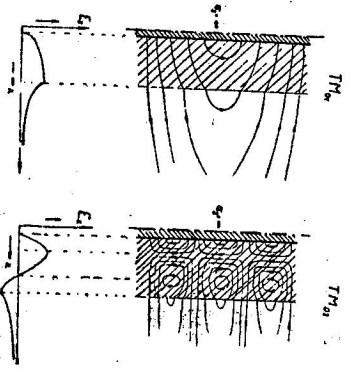
nezávisí na φ , složka E_z je však oscilující funkcí souřadnice r . Vedlejší složku pole E_z vlnového typu TM_{0i} , II. řádu TM_{0i} atd. Funkce, určující $r = b$ (na povrchu vodiče), které přechází pro $\sigma_3 = \infty$ v nulový bod. (Druhý nulový bod má funkce pro $r = \infty$.) U vlnového typu TM_{0i} má uvedená funkce pro $\sigma_3 = \infty$ a r konečné i nulových bodů.

Přibližný okamžitý tvar elektrického pole kolem drátu je znázorněn na obr. 2, a to pro vlnový typ TM_{01} (obr. 2a) a TM_{02} (obr. 2b). Zároveň je tam naznačen průběh funkce $E_z = f(r)$ pro oba případy. Obrázek pole se posouvá podél vlnovodu fázovou rychlostí u_f daného vlnového typu.

Je-li vlnovod vhodně dimenzován vzhledem k budící frekvenci f , mohou se na něm vytvořit současně různé vlnové typy TM, z nichž každý postupuje po vlnovodu obecně jinou rychlostí než ostatní. Jednotlivým typům tedy přísluší různé vlnové délky, obecně různé od prosté vlnové délky λ . Označíme je L_i .

Vlnový typ TM_{0i} se na drátovém vlnovodu vytvoří teprve když prostá vlnová délka je kratší než určité mezní vlnová délka λ_{mi} (index m označuje, dohořfrekvenční propust. To znamená, že se vlnovod chová jako

Pro vlnový typ TM_{0i} je $\lambda_{mi} \rightarrow \infty$, t. j. tento typ se vytvoří při každé frekvenci; mezní vlny λ_{mi} ($i = 2, 3, \dots$) mají hodnoty konečné a klesající s rostoucím i . Vlny delší než λ_{mi} se mohou přenášet jen na nižších typech.



Obr. 2

4. Výpočet vlnových délek typů TM

Vlnové délky a ostatní charakteristické veličiny stanovíme řešením Maxwellových rovnic:

$$\text{rot } \mathbf{H} = e \frac{\partial \mathbf{E}}{\partial t} + \sigma \mathbf{E}; \quad \text{rot } \mathbf{E} = -\mu \frac{\partial \mathbf{H}}{\partial t}, \quad (1)$$

s pomocí Hertzových vektorů \mathbf{Z} a \mathbf{Z}^* [15], z nichž první vede k vlnám TM a platí pro něj:

$$\mathbf{E} = \text{rot rot } \mathbf{Z}; \quad \mathbf{H} = \left(e \frac{\partial}{\partial t} + \sigma \right) \text{rot } \mathbf{Z}, \quad (2)$$

druhý vede k vlnám TE a platí pro něj:

$$\mathbf{E}^* = -\mu \frac{\partial}{\partial t} \text{rot } \mathbf{Z}^*, \quad \mathbf{H}^* = \text{rot rot } \mathbf{Z}^*. \quad (3)$$

Mimo to musí pravouhlé složky obou Hertzových vektorů splňovat skalární vlnovou rovnici:

$$\Delta \Psi - \epsilon \mu \frac{\partial^2 \Psi}{\partial t^2} - \sigma \mu \frac{\partial \Psi}{\partial t} = 0. \quad (4)$$

Z a Z^* volíme tak, aby jenom složky Z_z a Z_z^* byly nenulové. Je pak:

$$\mathbf{E} = \text{rot rot } \mathbf{Z} = \begin{vmatrix} i_z & i_r & i_\varphi \\ \frac{\partial}{\partial z} & \frac{\partial}{\partial r} & \frac{\partial}{\partial \varphi} \\ 0 & \frac{\partial Z_z}{\partial \varphi} - r \frac{\partial Z_z}{\partial r} & 0 \end{vmatrix}$$

$$\mathbf{E} = \frac{1}{r} \left[\frac{\partial}{\partial r} \left(-r \frac{\partial Z_z}{\partial r} \right) - \frac{\partial^2 Z_z}{\partial \varphi^2} \right] + \frac{1}{r} \frac{\partial}{\partial z} \cdot r \frac{\partial Z_z}{\partial r} + \frac{\partial^2 Z_z}{\partial z \partial \varphi}, \quad (5)$$

kde i_z, i_r a i_φ jsou jednotkové vektory. A tedy:

$$E_z = -\frac{1}{r} \frac{\partial}{\partial r} \left(r \frac{\partial Z_z}{\partial r} \right) - \frac{1}{r} \frac{\partial^2 Z_z}{\partial \varphi^2}; \quad E_r = \frac{1}{r} \frac{\partial}{\partial z} r \frac{\partial Z_z}{\partial r}; \quad E_\varphi = \frac{\partial^2 Z_z}{\partial z \partial \varphi} \quad (6)$$

$$H_r = \left(\epsilon \frac{\partial}{\partial t} + \sigma \right) \frac{\partial Z_z}{\partial z}; \quad H_\varphi = - \left(\epsilon \frac{\partial}{\partial t} + \sigma \right) \frac{\partial Z_z}{\partial r}; \quad H_z = 0. \quad (7)$$

Protože nás zajímá především harmonické vlnění, použijeme elementárního řešení rovnice (4) ve tvaru:

$$Z_z = \Psi = u(r, \varphi) e^{-j\omega t + jkz}. \quad (8)$$

Při úplné symetrii pole kolem vlnovodu nezávisí jeho složky na φ a je tedy:

$$Z_z = u(r) e^{-j\omega t + jkz}. \quad (8')$$

Veličina ω je kruhová frekvence budícího vlnění, h je obecně komplexní konstanta šíření vln ve směru z :

$$h = \frac{2\pi}{L} + i\alpha,$$

kde α je mírou polohového útlumu ve směru z . Pro usnadnění zvolíme $\alpha = 0$ (t. j. $\sigma_3 \rightarrow \infty, \sigma_2 = \sigma_1 = 0$), takže je:

$$h = \frac{2\pi}{L}. \quad (9)$$

Dosažením do (4) dostaneme $\left(\frac{\partial}{\partial \varphi} = 0 \right)$:

$$-h^2 u + \frac{\partial^2 u}{\partial r^2} + \frac{1}{r} \frac{\partial u}{\partial r} + \epsilon \mu \omega^2 u + j \omega \sigma \mu u = 0$$

anebo, položíme-li:

$$\omega^2 \epsilon \mu + j \omega \sigma \mu = k^2, \quad (10)$$

$$\frac{D^2 u}{dr^2} + \frac{1}{r} \frac{du}{dr} + (k^2 - h^2) u = 0. \quad (11)$$

Položíme-li $q = \sqrt{k^2 - h^2} r$, dostaneme:

$$\frac{d^2 u}{dq^2} + \frac{1}{q} \frac{du}{dq} + u = 0, \quad (11')$$

což je Besselova diferenciální rovnice řádu 0.

Jejími partikulárními řešeními je obecná cylindrická funkce řádu nula,¹

$$u = Z_0(\sqrt{k^2 - h^2} r). \quad (12)$$

Je proto:

$$Z_z = Z_0(\sqrt{k^2 - h^2} r) e^{-j\omega t + jkz} = Z_0 F, \quad (13)$$

kde F má zřejmý význam.

Po dosažení do (6) a (7) dostaneme s použitím (11) a (10):

$$\left. \begin{aligned} E_z &= \sqrt{k^2 - h^2} Z_0 F, \\ E_r &= jh Z_0 F, \\ H_\varphi &= j \frac{1}{\omega \mu} k^2 Z_0 F. \end{aligned} \right\} \quad (14)$$

Z_0 je derivace Z_0 podle argumentu, $Z_0'(q) = \frac{dZ_0}{dq}$.

Veličina k závisí na prostředí (ϵ, μ, σ) a také Z_0 nutno volit v jednotlivých prostředích tak, aby byla všude regulární, a to:

- v prostředí 1: ($k = k_1, a \leq r \leq \infty$) vyhovuje funkce $A_1 H_0^{(1)}$,
- v prostředí 2: ($k = k_2, b \leq r \leq a$) vyhovuje funkce $A_2 J_0 + B_2 N_0$,
- v prostředí 3: ($k = k_3, 0 \leq r \leq b$) vyhovuje funkce $A_3 J_0$.

Zde je J_0 Besselova funkce, N_0 Neumannova funkce a $H_0^{(1)}$ první Hankelova funkce, všechny řádu nula.

¹ Shodou obecných zvyklostí je tato funkce označena stejně jako velikost Hertzova vektoru, s nímž ovšem nemá nic společného.

Je potom:

$$\left. \begin{aligned} E_{1z} &= \sqrt{k_1^2 - h^2} A_1 H_0^{(1)}(\sqrt{k_1^2 - h^2} r) F, \\ E_{1r} &= j h A_1 H_0^{(1)}(\sqrt{k_1^2 - h^2} r) F, \\ H_{1\varphi} &= j \frac{k_1^2}{\omega \mu_1} A_1 H_0^{(1)}(\sqrt{k_1^2 - h^2} r) F, \end{aligned} \right\} \quad (15)$$

$$\left. \begin{aligned} E_{2z} &= \sqrt{k_2^2 - h^2} [A_2 J_0(\sqrt{k_2^2 - h^2} r) + B_2 N_0(\sqrt{k_2^2 - h^2} r)] F, \\ E_{2r} &= j h [A_2 J_0'(\sqrt{k_2^2 - h^2} r) + B_2 N_0'(\sqrt{k_2^2 - h^2} r)] F, \\ H_{2\varphi} &= j \frac{k_2^2}{\omega \mu_2} [A_2 J_0'(\sqrt{k_2^2 - h^2} r) + B_2 N_0'(\sqrt{k_2^2 - h^2} r)] F, \end{aligned} \right\} \quad (16)$$

$$\left. \begin{aligned} E_{3z} &= \sqrt{k_3^2 - h^2} A_3 J_0(\sqrt{k_3^2 - h^2} r) F, \\ E_{3r} &= j h A_3 J_0'(\sqrt{k_3^2 - h^2} r) F, \\ H_{3\varphi} &= j \frac{k_3^2}{\omega \mu_3} A_3 J_0'(\sqrt{k_3^2 - h^2} r) F. \end{aligned} \right\} \quad (17)$$

Zavedme nyní okrajové podmínky ($\sigma_3 = \infty$): $(E_{2z})_{r=a} = 0$;
 $(E_{3z} = E_{1z})_{r=a}$, $(H_{2\varphi} = H_{3\varphi})_{r=a}$ a položíme

$$x = a \sqrt{k_1^2 - h^2}, \quad y = a \sqrt{k_2^2 - h^2} \quad (18)$$

$$\left. \begin{aligned} A_2 J_0(\vartheta y) + B_2 N_0(\vartheta y) &= 0, \\ y [A_2 J_0'(y) + B_2 N_0'(y)] &= x A_1 H_0^{(1)}(x), \\ \frac{k_2^2}{\mu_2} [A_2 J_0'(y) + B_2 N_0'(y)] &= A_1 \frac{k_1^2}{\mu_1} H_0^{(1)}(x). \end{aligned} \right\} \quad (19)$$

Má-li tato soustava nenulové řešení pro A_1, A_2, B_2 , musí být její determinant roven nule. Z toho získáváme rovnici pro h :

$$\frac{k_1^2}{\mu_1} \frac{H_0^{(1)'}(x)}{x H_0^{(1)}(x)} = \frac{k_2^2}{\mu_2} \frac{J_0'(y) N_0(\vartheta y) - N_0'(y) J_0(\vartheta y)}{y [J_0'(y) N_0(\vartheta y) - N_0'(y) J_0(\vartheta y)]}. \quad (20)$$

Položíme-li $\epsilon_1 = \epsilon_0$; $\mu_1 = \mu_2 = \mu_0$; $\sigma_1 = \sigma_2 = 0$; $\epsilon_2 = \epsilon_r \epsilon_0$ (ϵ_r je relativní dielektrická konstanta), je:

$$k_1^2 = \omega^2 \epsilon_0 \mu_0 = \omega^2 / c^2 = (2\pi/\lambda)^2, \quad k_2^2 = \epsilon_r k_1^2. \quad (21)$$

Vztah (20) tím přejde v:

$$\left\{ \frac{1}{\epsilon_r} \frac{H_0^{(1)'}(x)}{x H_0^{(1)}(x)} = \frac{J_0'(y) N_0(\vartheta y) - N_0'(y) J_0(\vartheta y)}{y [J_0'(y) N_0(\vartheta y) - N_0'(y) J_0(\vartheta y)]} \right\} = \left\{ z_1 = z_2 \right\}. \quad (22)$$

Narysujeme-li graf funkce z_2 stojící na pravé straně této rovnice, jakož i graf funkce z_1 na levé straně, můžeme podle společné funkční hodnoty nalézt hodnoty x a y navzájem sobě příslušné. Ze vztahů (18) a (21) nalezneme pak vlnové délky L na vlnovodu, které přísluší jednotlivým

proslým vlnovým délkám 1. Je:

$$\lambda = 2\pi a \sqrt{\frac{\epsilon_r - 1}{y^2 + \xi^2}} \quad L = 2\pi a \sqrt{\frac{\epsilon_r - 1}{y^2 + \epsilon_r \xi^2}}, \quad (23)$$

kde $\xi = \frac{x}{h}$.

Pro mezní vlnové délky vlnových typů TM_{0i} nalezi Závěška vztah:

$$\lambda_{mi} = \frac{2\pi a}{y^{(i-1)}} \sqrt{\epsilon_r - 1}, \quad (24)$$

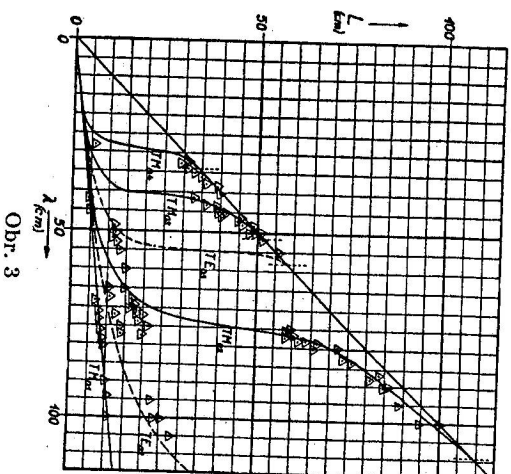
kde $y^{(i-1)}$ je i -tý první ($i = 2, 3, \dots$) kladný kořen rovnice

$$J_0'(y) N_0(\vartheta y) - N_0'(y) J_0(\vartheta y) = 0. \quad (25)$$

5. Vlnové délky na vlnovodu, jehož bylo použito k měření

Budíž prostředním 2 voda ($\epsilon_r = 81$, $a = 5,8$ cm), prostředním 3 měděný drát ($b = 0,2$ cm).

Grafickým řešením rovnice (25) nalezneme $y^{(1)} \approx 2,97$; $y^{(2)} \approx 6,28$; $y^{(3)} \approx$



Obr. 3

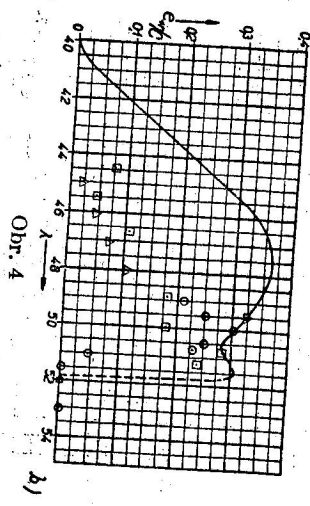
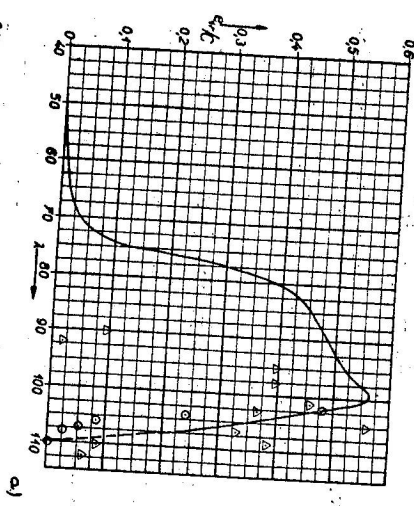
$\approx 9,57$. Jim přísluší mezní vlnové délky $\lambda_{m2} \approx 109,7$ cm; $\lambda_{m3} \approx 51,8$ cm; $\lambda_{m4} \approx 34,05$ cm vlnových typů TM_{02} , TM_{03} , TM_{04} .

Graficky stanovená závislost vlnové délky L na proslé vlnové délce u typů TM je zakreslena plnými čarami na obr. 3.

6. Závislost intenzity pole na vlnové délce ve vzdálenosti r od vlnovodu

Explicitní vyjádření složek pole dostaneme, vypočítáme-li z rovnice (19) poměry veličin A_1, A_2, B_2 a dosadíme do (15) a (16). Uvažujme jen radiální složku E_r vně vlnovodu. Pro ni platí:

$$E_r = C i a h y H_0^{(1)'} \left(\frac{x}{a} r \right) [J_0(\theta y) N_0(\theta y) - J_0(\theta y) N_0(y)] e^{-\gamma \omega t + i h z} \\ = C a h y H_0^{(1)'} \left(\frac{x}{a} r \right) f(y, \theta y) e^{-\gamma \omega t + i h z} \quad (26)$$



Obr. 4

kde $C, a, h, H_0^{(1)'}$, f jsou vesměs reálné veličiny. Zavedeme-li pro amplitudu E_r označení e_{1r} , je:

$$e_{1r} = C a h y H_0^{(1)'} \left(\frac{x}{a} r \right) f(y, \theta y) \quad (26')$$

Dosadíme-li:

$$h = \frac{2\pi}{L}, \quad x = \frac{l\xi}{a}, \quad L = 2\pi a \sqrt{\frac{\epsilon_r - 1}{y^2 + \epsilon_r \xi^2}}, \\ e_{1r} = C \frac{2\pi a}{L} y H_0^{(1)'} \left(\frac{l\xi}{a} r \right) f(y, \theta y)$$

anebo konečně:

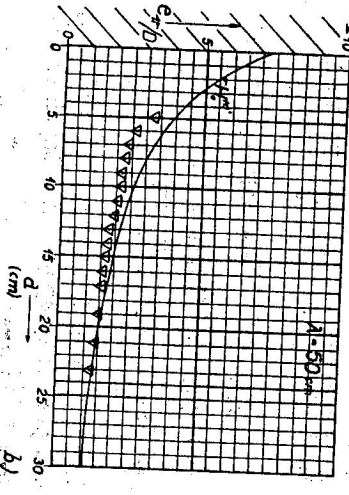
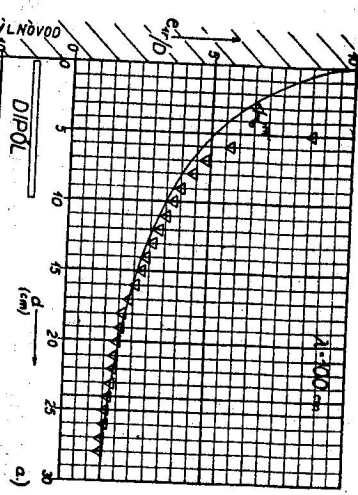
$$e_{1r} = y \sqrt{\frac{y^2 + \epsilon_r \xi^2}{\epsilon_r - 1}} H_0^{(1)'} \left(\frac{l\xi}{a} r \right) f(y, \theta y) \quad (27)$$

Závislost intenzity pole vně vlnovodu vlnové délce je znázorněna na obr. 4a, b pro $r = 10$ cm a pro vlnové typy TM_{02} a TM_{03} . Vidíme, že zmenšujeme-li vlnovou délku, je intenzita pole vlny TM_{02} nulová dříve než bylo dosaženo vlnové délky λ_{m2} (109,7 cm). Potom začne intenzita pole rychle stoupat s klesající vlnovou délkou, aby pak záhy opět začala klesat. Podobně je tomu u typu TM_{03} .

7. Závislost intenzity pole na vzdálenosti od osy vlnovodu při stálé vlnové délce

Uvažujme opět radiální složku intenzity elektrického pole E_r vně vlnovodu. Při konstantní vlnové délce jsou veličiny y, ξ v rovnici (27) stálé, takže platí:

$$e_{1r} = D H_0^{(1)'} \left(\frac{l\xi}{a} r \right)$$



Obr. 5

neboli:

$$\frac{D}{D'} = H_0^{(0)'} \left(\frac{j\xi}{a} r \right), \quad (28)$$

kde D je konstanta, $\frac{D'}{D}$ je relativní velikost amplitudy radiální složky intenzity elektrického pole.

Hodnoty funkce $H_0^{(0)'} \left(\frac{j\xi}{a} r \right)$ pro $\lambda = 100$ cm a $\lambda = 50$ cm jsou vyneseny na obr. 5a, b.

8. Vlnové typy TM

Jak bude uvedeno později, dala určitá měření podnět k domněnce, že některé z nalezených vlnových délek na vlnovodu mohou příslušet elektrického pole nemá složku ve směru šíření ($E_z = 0$).

Postup řešení Maxwellových rovnic je v podstatě stejný jako u typů TM , jen je nutno vyjít z Hertzova vektoru Z^* definovaného vztahem (3). Pro složky pole v jednotlivých prostředích dostaneme:

$$\left. \begin{aligned} E_{z0}^* &= -j\mu_0\omega A_1^* \sqrt{k_1^2 - k^2} H_0^{(0)'}(\sqrt{k_1^2 - k^2} r) F, \\ H_{z1}^* &= jh A_1^* \sqrt{k_1^2 - k^2} H_0^{(0)'}(\sqrt{k_1^2 - k^2} r) F, \\ H_{z2}^* &= (k_2^2 - k^2) A_1^* H_0^{(0)'}(\sqrt{k_1^2 - k^2} r) F. \end{aligned} \right\} \quad (29)$$

$$\left. \begin{aligned} E_{z0}^* &= -j\mu_2\omega \sqrt{k_2^2 - k^2} [A_2^* J_0'(\sqrt{k_2^2 - k^2} r) + B_2^* N_0'(\sqrt{k_2^2 - k^2} r)] F, \\ H_{z1}^* &= jh \sqrt{k_2^2 - k^2} [A_2^* J_0'(\sqrt{k_2^2 - k^2} r) + B_2^* N_0'(\sqrt{k_2^2 - k^2} r)] F, \\ H_{z2}^* &= (k_2^2 - k^2) [A_2^* J_0'(\sqrt{k_2^2 - k^2} r) + B_2^* N_0'(\sqrt{k_2^2 - k^2} r)] F. \end{aligned} \right\} \quad (30)$$

$$\left. \begin{aligned} E_{z0}^* &= -j\mu_3\omega \sqrt{k_3^2 - k^2} A_3^* J_0'(\sqrt{k_3^2 - k^2} r) F, \\ H_{z1}^* &= jh \sqrt{k_3^2 - k^2} A_3^* J_0'(\sqrt{k_3^2 - k^2} r) F, \\ H_{z2}^* &= (k_3^2 - k^2) A_3^* J_0'(\sqrt{k_3^2 - k^2} r) F. \end{aligned} \right\} \quad (31)$$

Předpokládáme-li v prostředí 3 nekonečnou vodivost, musí pro $r = b$ být $(E_{z0}^*)_{r=b} = 0$. Z podmínky spojitosti tečných složek plyne: $(H_{z2}^*)_{r=a} = (H_{z1}^*)_{r=a}$; $(E_{z0}^*)_{r=a} = (E_{z1}^*)_{r=a}$.

Zavedme dále veličiny x a y podle dřívejší definice a předpokládejme

koněně, že $\mu_1 = \mu_2 = \mu_3 = \mu_0$. Po rozvinutí obdržíme pak okrajové podmínky ve tvaru:

$$\left. \begin{aligned} A_2^* J_0'(\vartheta y) + B_2^* N_0'(\vartheta y) &= 0, \\ y [A_2^* J_0'(y) + B_2^* N_0'(y)] &= A_1^* x H_0^{(0)'}(x), \\ y^2 [A_2^* J_0(y) + B_2^* N_0(y)] &= x^2 A_1 H_0^{(0)'}(x). \end{aligned} \right\} \quad (32)$$

Abysoustava (32) měla pro součinitele A_1^* , A_2^* , B_2^* (resp. pro jejich poměr) řešení, musí být její determinant roven nule a tedy:

$$\frac{H_0^{(0)'}(x)}{x H_0^{(0)'}(x)} = \frac{J_0'(y) N_0'(\vartheta y) - J_0'(\vartheta y) N_0'(y)}{y [J_0(y) N_0'(\vartheta y) - J_0'(\vartheta y) N_0(y)]}. \quad (33)$$

Položme $x = j\xi$, $\xi > 0$ a hledejme k sobě příslušné hodnoty ξ a y , které splňují tuto rovnici. Její levá strana, kterou označíme z_1^* , je pro všechna $\xi > 0$ kladná. Příslušné hodnoty y musí proto činit pravou stranu (z_1^*) rovněž kladnou. Funkce z_1^* je sudou funkcí y a stačí proto uvažovat jen kladné hodnoty y , reálné nebo ryze imaginární.

Dokážeme, že funkce z_1^* nemůže nabývat kladných hodnot pro žádný ryze imaginární kladný a konečný argument $j\eta = y$. Z vlastností cylindrických funkcí nalezneme tyto vztahy: ([16], 224 a 242):

$$\left. \begin{aligned} jJ_0'(j\eta) &= \alpha_1, & H_0^{(0)'}(j\eta) &= \beta_1, & J_0(j\eta) &= \gamma, \\ jJ_0'(j\vartheta\eta) &= \alpha_2, & H_0^{(0)'}(j\vartheta\eta) &= \beta_2, & jH_0^{(0)'}(j\eta) &= \delta. \end{aligned} \right\}$$

$\alpha_1, \beta_1, \gamma, \delta$ jsou funkce η nabývající jen kladných hodnot a platí: $\alpha_1 > \alpha_2$; $\beta_2 > \beta_1$.

Ze vztahů mezi funkcemi J , N , H nalezneme:

$$\left. \begin{aligned} jN_1(j\eta) &= H_0^{(0)}(j\eta) - J_1(j\eta), \\ jN_0(j\eta) &= H_0^{(0)}(j\eta) - J_0'(j\eta) = \beta_1 + j\alpha_1 \end{aligned} \right\}$$

anebo:

$$N_0'(j\eta) = \alpha_1 - j\beta_1 \text{ a } N_0'(j\vartheta\eta) = \alpha_2 - j\beta_2.$$

Dále je:

$$\left. \begin{aligned} jN_0(j\eta) &= H_0^{(0)}(j\eta) - J_0(j\eta) = -\gamma - j\delta, \\ N_0(j\eta) &= -\delta + j\gamma. \end{aligned} \right\}$$

Dosadme tyto výrazy do funkce v číkateli pravé strany (33):

$$\left. \begin{aligned} J_0'(y) N_0'(\vartheta y) - J_0'(\vartheta y) N_0'(y) &= -j\alpha_1(\alpha_2 - j\beta_2) + j\alpha_2(\alpha_1 - j\beta_1) \\ &= -\alpha_1\beta_2 + \alpha_2\beta_1. \end{aligned} \right\}$$

Je však $\alpha_1 > \alpha_2$; $\beta_2 > \beta_1$, takže je tím spíše $\alpha_1\beta_2 > \alpha_2\beta_1$, resp. $\alpha_2\beta_1 - \alpha_1\beta_2 < 0$ (funkce nemá pro kladný ryze imaginární argument nulových bodů).

Podobně nalezneme dosazením do složené funkce ve jmenovateli:

$$J_0(y) N_0'(\beta y) - J_0'(\beta y) N_0(y) = \gamma (\alpha_2 - i\beta_2) + i\alpha_2 (-\delta + i\gamma) = -i(\alpha_2\delta + \beta_2\gamma).$$

Výraz v závorce je veličina kladná, z čehož plyne, že ani funkce ve jmenovateli nemá pro uvažované argumenty nulových hodnot. Dále je:

$$z_2^* = \frac{\alpha_2\beta_1 - \alpha_1\beta_2}{\gamma(\alpha_2\delta + \beta_2\gamma)} < 0;$$

funkce z_2^* nabývá pro rýze imaginární argumenty jen záporných hodnot a nemůže mít proto společné funkční hodnoty s funkcí z_1^* . Zbývají jen reálné hodnoty argumentu.

Průběh funkce z_2^* je velmi podobný průběhu funkce

$$\frac{J_0'(y)}{y^{2\alpha}(y)},$$

která se vyskytuje při výpočtu vlnových typů TM na dielektrických válcích.

Z nulových aproximací:

$$J_0(y) \approx 1; J_0'(y) \approx -\frac{1}{2}y; N_0(y) \approx -\frac{2}{\pi} \ln \frac{2}{\gamma y}; N_0'(y) \approx \frac{2}{\pi y},$$

(kde $\gamma = e^C = 1,781$, C je Eulerova konstanta), nalezneme pro malé hodnoty y :

$$z_2^* \approx -\frac{1 - \beta^2}{2 - \beta^2} \frac{\ln \frac{2}{\gamma y}}{\gamma y}$$

a pro $y = 0$ je:

$$(z_2^*)_{y=0} = -\frac{1 - \beta^2}{2}.$$

První větev grafu začíná u malých záporných hodnot a klesá s rostoucí y k $-\infty$ pro $y = *y^{(1)}$, t. j. pro nejmenší kladný kořen rovnice $J_0'(\beta y) - J_0'(\beta y) N_0'(y) = 0$. V tomto bodě je nespojité a přechází od hodnoty $-\infty$ k $+\infty$. Zde začíná kladná část druhé větve funkce z_2^* a také první oblast, kde rovnice $z_1^* = z_2^*$ má řešení.

Vlnové typy TE mohou vzniknout až když budíci vlnová délka λ klesla pod jistou mez λ_{m2}^* (vlna TE_{02}), danou vztahem:

$$\lambda_{m2}^* = \frac{2\pi a}{*y^{(1)}} \sqrt{\epsilon_r - 1}. \quad (34)$$

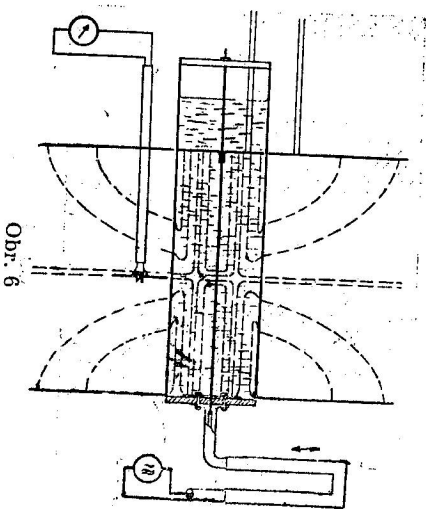
Jsou tedy možné jen vlnové typy TE_{0i} ($i > 1$). Typ TE_{01} neexistuje. Pro typy TE_{0i} jsou mezní vlnové délky:

$$\lambda_{mi} = \frac{2\pi a}{*y^{(i-1)}} \sqrt{\epsilon_r - 1}, \quad (34')$$

kde $*y^{(i-1)}$ je i -první ($i = 2, 3, \dots$) kladný kořen shora uvedené rovnice. Postup výpočtu vlnových délek na vlnovodu (L_i^*) v konkrétním případě je stejný jako u typů TM . Nalezené hodnoty pro typy TE_{02} a TE_{03} jsou zakresleny na obr. 3 přerušovanou čarou. Průběh funkce:

$$z_2^* = \frac{f_i}{y f_2}, \quad f_i = J_0'(y) N_0'(\beta y) - J_0'(\beta y) N_0'(y)$$

$$\text{a } f_2 = J_0(y) N_0'(\beta y) - J_0'(\beta y) N_0(y)$$



je zakreslen na obr. 6. První dva kořeny rovnice:

$$f_2 = 0$$

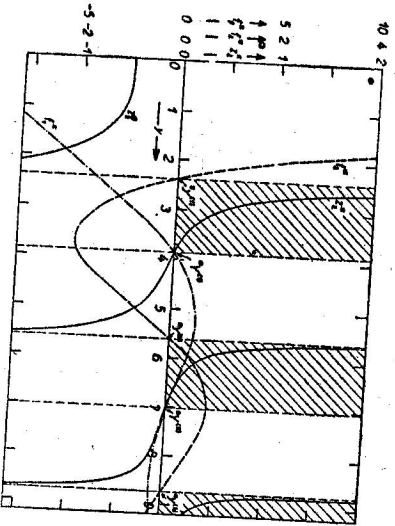
jsou: $*y^{(1)} \approx 2,38$; $*y^{(2)} \approx 5,61$.

9. Měřicí zařízení

Měření byla prováděna na zařízení podle obr. 7. Vlnovod tvoří trubice z tvrdého papíru naplněná vodou, v jejíž ose je napnut měděný drát. Poloměry trubice a drátu jsou $a = 5,8$ cm, $b = 0,2$ cm. Délka trubice je 130 cm, síla stěny je 0,15 cm. Je postavena svisle, takže její horní konec není třeba utěšňovat.

Její konce jsou uzavřeny izolacími víčky, z nichž dolní je utěsněno asfaltem. Na dolním víčku je uvnitř trubice umístěn plechový prstěnek, který slouží jako budíci elektroda. Prstěnek je vodivě spojen s pláštěm koaxiálního kabelu, drát je spojen s jeho vnitřním vodičem. Na opačném konci je kabel připojen přes pozumované vedení ke zdroji vysokofrekvenční energie 200–800 MHz (vysílač SLD firmy Rohde a Schwarz). V úrovni

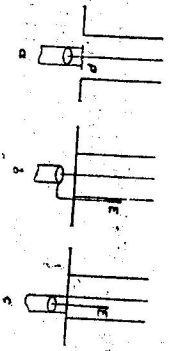
prstence je vně trubice upevněna kovová deska rozměru $75 \times 75 \text{ cm}^2$. Kromě toho je na drátě posuvně uloženo vnitřní kruhové stínítko a v jeho úrovni se posouvá vně trubice vnější stínítko (opět $75 \times 75 \text{ cm}^2$). Obě posuvná stínítka jsou spojena soustavou táhel, takže se pohybují současně. Táhla jsou pak zavěšena na pevném molozu, který jde přes kladku upevněnou na stropě laboratoře k vzdálenému navijáku, takže stínítka mohou být posouvána ze vzdáleného místa. Tím byl značně omezen rušivý vliv pohybů experimentátora.



Obr. 7

Mezi oběma stínítky stojaté vlny, jejichž intenzita je největší, je-li vzdálenost mezi stínítky rovna $n \cdot L/2$. Dráhový rozdíl mezi dvěma délkami povrchové vlny.

Intenzita vlnění byla indikována dipólem s kryсталovým detektorem, upevněným pomocí kovové trubky na posuvném stínítku. Usměrněné vysokofrekvenční proudy byly přiváděny



Obr. 8

k citlivému galvanometru, umístěnému opět na vzdáleném místě.

Celý vlnovod byl postaven na dřevěných podpěrách na podlaze laboratoře.

Změnou délky pozounového vedení bylo možno měnit přízpusobení impedance vlnovodu na impedanci generátoru. Relativní velikost jednotlivých maxim se změnou přízpusobení měnila jen velmi málo.

Velmi důležitými se ukázaly geometrické rozměry a poloha přijímacího dipólu. Jak bylo ukázáno v teoretické části, klesá rychle intenzita pole vně trubice se vzdáleností od jejího povrchu. Je-li v okolí trubice přítomno

rušivé pole (na př. pole prosté vlny vyzářované generátorem mimo napájecí kabel), projevuje se poměrně tím silněji, čím dále je uvažované místo od trubice. Z toho důvodu je vhodné umístit dipól co nejdříve trubici. Jeho délka je dosti malá 6–10 cm, aby nezpůsobil velkou deformaci pole. Také stínící trubka, která tvoří držák pro dipól, může způsobit citelnou deformaci pole, což může mít za následek vznik různých rušivých efektů. Tak na př. bylo nalezeno, že vzdálenost rušivých maxim při tomto uspořádání se rovná zhruba celé délce L_1 místo $L_1/2$. Byli-li však dipól upevněn na dřevěné tyčince, která nese zkroucené přívody ke galvanometru a vychází z měřicího prostoru v tangenciálním směru (je upevněna na př. na dřevěném fotografickém stativu), byly kromě hledaných délek vln nalezeny pouze vlny L_1 , kdežto uvedená dvojnásobná vlnová délka zcela zmizela.

Také poloha dipólu v axiálním směru, tedy jeho vzdálenost od stínítka je velmi důležitá. Má být vždy umístěn vůči jednomu anebo druhému stínítku ve vzdálenosti rovné lichému násobku $1/4$ vlnové délky na vlnovodu (L), kterou právě hledáme (tedy v místě největší intenzity pole příslušných stojatých vln). Tím je žádána vlna znatelně vyzdvížená nad úroveň rušivých vln, jejichž maxima intenzity pole leží obecně jinde.

Ve většině případů bylo použito jako vnitřního dielektrika obyčejné užitkové vody. Z počátku bylo použito vody destilované, avšak při použití užitkové vody nebyly nalezeny žádné změny.

Vedle úpravy budících prvků výše popsané, která je schémačicky znovuznámenána na obr. 8a, a již bylo nejvíce používáno, byly vyzkoušeny ještě jiné druhy, jak je znázorňuje obr. 8b, c. V případě a) je jednou elektrodou drát, druhou prstencec P , v případě b) je druhou elektrodou kovová desička E rozměru $3,5 \times 3,5 \text{ cm}^2$, připravená na vnější stěnu trubice v místě, kde siločivky mají podle výpočtu vystupovat kolmo. Podobně je tomu v případě c), jenže elektroda je uvnitř vlnovodu ve vzdálenosti asi 2 cm od osy drátu.

Všeobecně lze o těchto druzích elektrod říci, že pro měření žádaných vln byl nejvhodnější typ b) (jak se ukázalo až při celkovém hodnocení výsledků), neboť při jeho použití (současně s dipólem na stativu) nebyly nalezeny jiné rušivé vlny než TM_{01} . Druh c) měl značnou nevýhodu v tom, že bylo nutno vždy vlnovod rozebrat, měla-li se změnit poloha elektrody. Úpravy b) a c) jsou nesouměrné, takže není vyložená možnost vzniku vlnových typů s omezenou souměrností pole. O některých podrobnostech napájení se ještě zmíníme při rozboru naměřených hodnot.

Výšeteme ještě vliv stěny trubice na délku povrchové vln. Předpokládejme nejprve, že ϵ , stěny je stejná jako ϵ vody. Tloušťka stěny trubice byla 0,15 cm, takže nový poloměr drátu s obalem $a' = 5,95 \text{ cm}$. Je potom $b/a' = \epsilon' = 0,0336$, resp. $a'/b = Kr \approx 29,8$. Vypočítáme-li kořeny $y_n^{(e)}$ rovnice (25), nalezneme, že jsou jen nepatrně odlišné od hodnot výpočta

nych pro $\approx 0,0345$ (jistě méně než o 1/2%), takže lze přibližně psát:
 anebo také (pro $a' \approx a$):

$$\lambda_{mi} \approx \frac{2\pi a'}{y(\sqrt{\epsilon_r} - 1)}$$

$$\frac{\Delta\lambda_{mi}}{\lambda_{mi}} = \frac{a'}{a} - 1.$$

V našem případě je tedy relativní chyba $5,95/5,8 - 1 = 1,025 - 1 = 0,025$, t. j. + 2,5%.

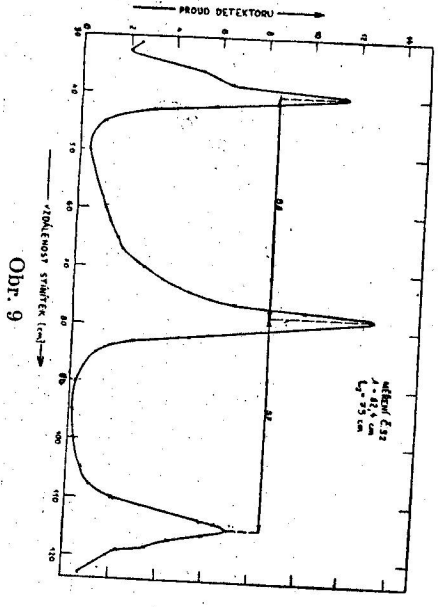
Pro velké hodnoty ξ (velmi krátké vlny) lze v rovnicích (23) zanedbat g^2 vůči ξ^2 a je pak:

$$\frac{\lambda}{L} \approx \sqrt{\epsilon_r},$$

takže v této oblasti již veličina a ovlivňuje jen velmi málo vlnové délky L . Je tedy zřejmé, že chyba způsobená zanedbáním vlivu stěn trubice je největší pro meznou vlnu a směrem ke kratším vlnám se zmenšuje. Uvá- bude chyba ještě podstatně menší, než bylo odhadnuto, takže ji můžeme vůči ostatním chybám měření zanedbat.

10. Naměřené hodnoty a jejich rozbor

Hodnoty pro hlavní vlnu TM_{01} souhlasí všude velmi dobře s vypočítanými hodnotami a objevují se při buzení vnější elektrodou a detekci di- pólem na stativu u všech vlnových délek λ .

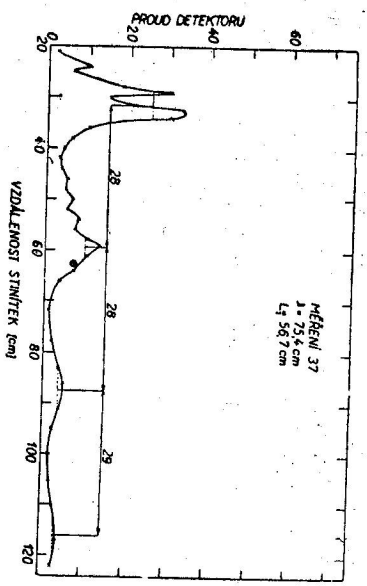


Obr. 9

V citované práci Š i m o n o v ě jsou vlnové délky příslušející vlně TM_{01} nesprávně posuzovány jako „vodní vlny“, t. j. elektromagnetické vlny v dielektriku (ve vodě). Je-li prostá délka λ , je vlnová délka těchto vln

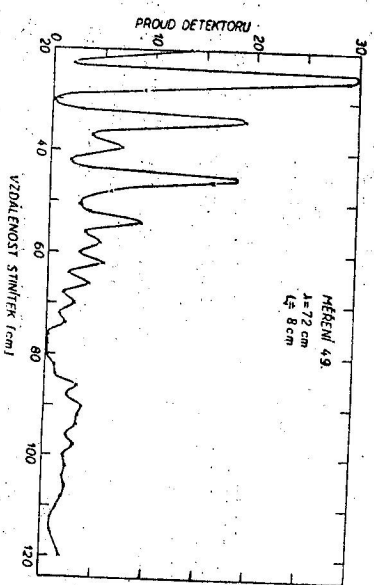
$L_{(H,0)} = \frac{\lambda}{\sqrt{81}}$. V uvažovaném případě jsou hodnoty $L_{(H,0)}$ velmi blízké hodnotám pro TM_{01} , fyzikálně jde však o dva různé druhy vln. Kromě toho nelze vlnovou délku $L_{(H,0)}$ nalézt vně vodního sloupece, neboť tam přislouží danému kmitočtu jiná vlnová délka (ve vzduchu je to délka λ). Je proto zřejmé, že nalezené hodnoty mohou příslušet jediné hlavní po- vlnové vlně.

Vedlejší vlny TM_{02} lze velmi pěkně sledovat v oboru $\lambda \approx 110$ až asi $\lambda \approx 77$ cm. Zvláště výrazně lze pozorovat vznik vln těsně pod meznou



Obr. 10

vlnovou délkou. Při $\lambda \approx 110$ cm je vlnění na vlnovodu velmi slabé a nelze nalézt výrazné maxima. Jakmile však λ dosáhne hodnoty asi 108—110 cm, objeví se slabá maxima, která s klesající vlnovou délkou rychle silí, aby při dosažení délky $\lambda \approx 90$ cm začala opět slábnout a při $\lambda \approx 75$ cm zmizela úplně v rušivých vlnách (obr. 9, 10, 11). Z počátku se zdálo, že je tento zjev způsoben chybou v uspořádání vlnovodu. Ale ani změny uspořádání



Obr. 11

budící elektrody a vyladění pozounového vedení nepřinesly zlepšení. Jak bude uvedeno dále, měnil se změnou budící elektrody jen charakter rušivých vln, ale žádané vlny se nepodařilo vyzdvihnout nad rušivou pozounového vedení měla vliv především na intenzitu vlnění. To bylo ovšem možno očekávat, neboť se tím mění hlavně přízpusobení impedance zdroje k impedanci vlnovodu.

V citované Šimonově práci se tvrdí, že vyladěním napájecího vedení lze vyzdvihnout žádanou vlnu nad rušivé. Jako doklad se uvádí obr. 2. Zvětšme-li však obr. 2b asi dvojnásobně ve svíslém směru, shledáme, vyzdvižení žádané vlny. Poněkud příznivější je vztah mezi obr. 2a a 2b, nutno však uvážít, že v případě 2b je celková intenzita vlnění větší než u 2a (lepší přízpusobení). Je tedy zřejmě větší intenzita pole a jelikož intenzita vlnění je úměrná čtverci intenzity pole, rostou přirozeně rychleji vlny galvanometru v místě maxim než v okolí těchto (k detekci bylo použito detektoru, jehož charakteristika je zhruba kvadratická).

Pokud jde o obr. 3c citované práce, nutno si povšimnout, že je silně vyzdvižena prosťá vlna. To lze vysvětlit jednak tím, že použitá vlnová je nutno značně zvětšit citlivost galvanometru. Tím se ale stává celé zařízení velmi citlivým vůči rušivým vlnám, z nichž jednou je právě prosťá vlna, šířící se více-méně nepravděelně kolem trubice. Za druhé použil autor citované práce budících elektrod (obr. 1), které v podstatě budi pole směřující napříč trubicí, nikoli radiálně vzhledem k drátu. Při takovém uspořádání a vhodném naladění vzniká ovšem velké napětí na elektrodách, která má za následek silné rušivé pole prosťé vlny vně vlnovodu. (Mechanismus vzniku žádaných povrchových vln je ostatně v tomto případě vysvětlitelný jen nesouměrností elektrod.)

Pro střední partii křivky typu TM_{02} nalezl Šimon tyto vlny:

$$\lambda = 77,0 \text{ cm}, L_2 = 36 \text{ cm}, \\ \lambda = 75,2 \text{ cm}, L_2 = 48 \text{ cm}.$$

Vedlejší vlna příslušná prosťé vlně $\lambda = 75,2$ cm je o $1/3$ delší než vlna odpovídající prosťé vlně 77 cm, ačkoli by měla být podstatně kratší, takže tyto dvě hodnoty nejsou dosti průkazné.

Rostoucí obtížnost rozlišení povrchových vln od rušivých při vlnách kolem 75 cm se podařilo vysvětlit, když byla stanovena pro daný případ theoretická závislost intenzity pole v určitém místě vně vlnovodu na vlnové délce (obr. 4a, b).

Experimentálně byla závislost zjištěna tím způsobem, že při $\lambda = 100$ cm, kde se dalo očekávat nejsilnější vlnění, bylo nalezeno maximum (horní

stínidlo asi 51 cm od dolního) a pak byla měněna vlnová délka střídavě k větším a menším hodnotám, nalezeno vždy příslušné maximum (v okolí kvadratické charakteristice detektoru udávají nalezené vlny poměrně intenzity vlnění. Poměrně intenzivní pole byly nalezeny odmočením. Byla provedena dvě měření, jedno je v obr. 4a označeno \odot , druhé Δ (dípoli elektrické intenzity jsou redukovány k theoretické křivce; měření \odot k tomu, že nebyl po ruce generátor, který by byl dosti stabilní a prostý rušivých kmitů a vzhledem k tomu, že také nebylo možno danými prostředky měřit dosti přesně výstupní napětí, jsou uvedena měření jen velmi hrubá a silně kolísají). Přesto však se jasně jeví zánik vedlejší vlny nad meznou délkou. Směrem ke kratším vlnám slabne pole rychleji, než by odpovídalo theoretické hodnotě pro soustředování pole do vnitřního dielektrika. To lze vysvětlit vzrůstem útlumu při soustředování pole k drátu, čemuž nasvědčuje skutečnost, že s klesající vlnovou délkou roste vzdálenosti stínítek.

Podobně je tomu u vedlejší vlny TM_{02} . Také zde je velmi ostře vyjádřena mezná vlnová délka (51,8 cm), nad kterou se objevují jen rušivé vlny. Směrem ke kratším vlnám ubývá opět intenzity pole ve vnějším prostoru rychleji než podle theoretické křivky. Zjištěné vlnové délky souhlasí opět velmi dobře s vypočítanou křivkou. Pro vlnové délky $\lambda < 42$ cm nebylo již možno rozeznat TM_{02} od vln rušivých (obr. 4b). Byla provedena 3 měření; první je označeno \odot a je redukováno k $\lambda = 50$ cm, druhé (Δ) je redukováno k $\lambda = 49,5$ cm a třetí (\square) je redukováno k $\lambda = 50,6$ cm.

Konečně bylo provedeno několik měření pro vedlejší vlnu TM_{02} , která dosti dobře potvrzuji počáteční partii theoretické křivky. Podrobnější měření nebylo možno provést vzhledem k nedostatku přístrojů.

Pro úplnost jsou v obr. 3 vyneseny také vlnové délky odpovídající zjištěným rušivým maximům. Vzájemná vzdálenost těchto maxim se značuje dvěma různými hodnotami; jedná, získaná s budícím zařízením a) a s dipólem na stativu (vedení ke galvanometru vychází tangenciálním směrem) přimyká se dosti těsně k theoretické křivce TE_{02} od $\lambda = 65$ cm až do $\lambda = 95$ cm. Druhá skupina hodnot, která byla získána když dipól byl upevněn axiálně kovovou trubicí na posuvném stínidle, nepřimyká se plynu k žádné z theoretických křivek. Sleduje zhruba křivku $L = 2\lambda/\sqrt{\epsilon}$ (není zakreslena); v oblasti $\lambda = 78$ cm až 100 cm (t. j. v oblasti, kde se objevuje silná TM_{02}) mizí a objevuje se znovu u $\lambda = 100-105$ cm.

Z uvedeného vyplývá, že alespoň tento druh hodnot je rušivého rázu a je pravděpodobně způsoben uspořádáním měřícího zařízení. Je

zajímavý hlavně rozdíli způsobený upevněním a umístěním dipólu a skutečnost, že žádná z těchto vln se neobjevuje při buzení typu b). Ačkoli by k bezpečnému jejímu prokázání bylo třeba nové úpravy budící a detekční vzhledem k tomu, že nulové složky pole typu TM jsou právě délnou osou v radiálním směru neměl vůbec zachytit vlnění TE .)

11. Měření intenzity pole v závislosti na vzdálenosti od povrchu trubice

Theoretická křivka závislosti radiální složky intenzity elektrického pole E_r na vzdálenosti (d) od povrchu trubice je dána funkcí H_{0v} .

Experimentální ověření této křivky bylo provedeno při vlnových délkách $\lambda = 100$ cm a $\lambda = 50$ cm. Nejdříve bylo nalezeno maximum posouváním stínítek. V místě, kde se objevilo maximum, byl na trubici upevněn tenký motouz, který byl napnut přesně vodrovně. Vlnovod sám byl před tím nastaven podle olovnice do polohy vísle. Dřevěná tyčinka osa dipólu byla ve směru i ve výšce motouzu. Stavil byl při měření natížen vždy tak, aby dipól stále posluhoval podél motouzu. Délka dipólu byla 10 cm a vzdálenost od povrchu trubice byla měřena do středu dipólu. Nalezené výsledky jsou sestaveny na obr. 5a ($\lambda = 100$ cm) a 5b ($\lambda = 50$ cm). Výchylky galvanometru byly po odmočení redukovány hodnoty jsou označeny Δ . Souhlas s theoretickou křivkou je ve větší vzdálenosti od vlnovodu velmi dobrý, uvážíme-li, že při zkoumání pole prosté vlny v nepravdělně omezené laboratoři nalezneme vždy veliké množství maxim a minim intenzity pole. Nalezená pravidelnost ubývání již sama o sobě je důkazem, že převážná část elektromagnetické energie je koncentrována ve vlnovodu a v jeho těsné blízkosti.

12. Závěr

Z výsledků měření vyšších vlnových typů na vodičném drátě s tlustou vrstvou dielektrika plynou tyto závěry:

1. Byly znovu bezpečně potvrzeny vedlejší vlny typu TM_{02} , které prvý experimentálně dokázal Simon.
2. Byly bezpečně potvrzeny vedlejší vlny TM_{03} , které prvý TM_{04} .
3. Byly nalezeny hodnoty navědčující, že existují také vedlejší vlny TM_{05} .
4. Nepodařilo se nalézt vlnové délky L , příslušné k strmým částem křivek pro jednotlivé typy.

5. Bylo prokázáno rostoucí soustředování elektromagnetického pole k ose vlnovodu při klesající vlnové délce a tím vysvětlena rostoucí obtížnost rozeznat správnou hodnotu vlnové délky L od rušivých vln.

6. Bylo ukázáno, že mezní vlny jsou velmi oslabě vyjádřeny.

7. Byla potvrzena theoreticky stanovená závislost intenzity pole vně vlnovodu na vzdálenosti.

8. Bylo theoreticky ukázáno, že vedle vln TM odvozených Záviskou mohou existovat také vlny typu TE . Tyto však nebyly dostatečně potvrzeny experimentálně, což nutno přisuzovat především tomu, že jim byla věnována pozornost teprve při celkovém vyhodnocování měření, kdy již nebylo možno provést další měření se zvláštním zřetelům k těmto vlnám.

Bylo provedeno celkem asi 160 měření. Jak bylo již uvedeno, byla zaznamenávána relativní intenzita pole v závislosti na poloze posuvného stínítko. Hodnoty byly vynášeny bod za bodem. Ukázalo se, že v oblastech, kde pole povrchové vlny vně trubice je silné, lze theoretické zákonnosti sledovat velmi snadno. Jakmile se však pole silně soustředí dovnitř trubice, mizí hledaná maxima rychle v rušivém „pozadí“ a zdá se, že ani při automatické registraci, jaké je použito v [14], nebyly by výsledky lepší než při uspořádání s primitivním dálkovým ovládním, kterého bylo při měření použito.

Dosti velké potíže způsoboval použitý vysokofrekvenční generátor. Jeho výkon byl poměrně malý (asi 2–3 V na sedmdesátiohmovém kabelu), takže bylo nutno použít dosti těsné vazby na vlnovod. To však mělo ten (až o 1%). V některých vlnových oblastech (na př. kolem $\lambda = 95$ cm) dával vysilač místo jediné frekvence celé široké spektrum. Také obsah harmonických kmitočtů se projevovat dosti rušivě; na př. při vlnové délce $\lambda = 68,2$ cm se objevila velmi výrazná maxima odpovídající vlnové délce 34,25 cm. Při bližším průzkumu se ukázalo, že na výstupu vysilače byla velmi silná složka 2. harmonické frekvence.

Vyslovují zde svůj dík prof. Dr. V. Petráčkovi za jeho cenné rady, které mi poskytl při volbě tématu této práce a při stanovení pracovního programu a Dr. Č. M u z i k á ř o v i za četné kritické připomínky. Vyslovují rovněž svůj dík doc. Dr. E. K l i e r o v i za jeho připomínky k rozboru výsledků měření.

Astronomický ústav ČSAV,
obseruator, Ondřejov

- [1] Sommerfeld A., Ann. Phys. u. Chemie (Neue Folge), 67-1, 283, 1899.
- [2] Harms F., Ann. Phys. 23, 44—60, 1907.
- [3] Weiss, Ann. Phys. 23, 651, 1909.
- [4] Hondros D., Debye P., Ann. Phys. 32, 455, 1910.
- [5] Schriever O., Ann. Phys. 63, 645, 1920.
- [6] Goubau G., Jour. Appl. Phys. 21, 1119—1128, 1951.
- [7] Zachoval L., Rozpr. čes. akad. II. tř. 42, 1932, 34.
- [8] Kašpar E., Čas. J. čm. f. 62, 40, 1933.
- [9] Liška J., Čas. J. čm. f. 63, 97, 1934.
- [10] Láská St., Čas. J. čm. f. 66, 224, 1937.
- [11] Rotman W., Proc. IRE, 952-59, srpen 1951.
- [12] Vasiljev—L. oručin, ŽTF 21, 5, 527—531, 1951.
- [13] Závviška F., Věst. král. čes. spol. nauk 1934.
- [14] Šimon I., Čas. J. č. m. f. 71, 91, 1946.
- [15] Stratton, Electromagnetic Theory, McGraw—Hill, New York 1941.
- [16] Janke—Emde, Tables of Functions; vyd. Dover Publications, New York 1945.

ВОЛНЫ НА ПРОВОЛОКЕ С ДИЭЛЕКТРИЧЕСКОЙ ОБОЛОЧКОЙ

И. БУДЕЦКИИ

ВЫВОДЫ

В работе экспериментальным путем исследованы электромагнитные волны, распространяющиеся вдоль проводящей проволоки с диэлектрической оболочкой. Найденны высшие типы волн, именно поперечные магнитные волны (TM), существование которых теоретически путем вывел уже Завишка [13] и экспериментально отчасти подтвердил Шимон [14]. Работа является дополнением и расширением опытов Шимона с применением более совершенного экспериментального оборудования.